

## АКУСТОМАГНИТНЫЙ ЭФФЕКТ В АЛЮМИНИИ И ОЛОВЕ

*H.B.Заваричий*

Наблюден акустомагнитный эффект, заключающийся в намагничивании металла в неоднородном звуковом поле. Изучено распределение намагничивания по образцу, зависимость эффекта от температуры.

Акустическая волна, распространяясь по металлу, увлекает электроны проводимости. В однородном звуковом поле это приводит к возникновению электрического напряжения  $V_{ph}$  вдоль образца. В простейшем предположении, что вся энергия звуковой волны  $W$  передается электронам проводимости, с простой поверхностью Ферми получаем

$$V_{ph} = \frac{1}{W} \frac{e n u}{e n u}, \quad (1)$$

где  $n$  — плотность электронов проводимости,  $u$  — скорость звука. Это соответствует значению  $v_{ph} = V_{ph}/W \sim 10^{-10} \text{ в}\cdot\text{см}^{-1}\text{см}^2$  для таких металлов, как олово и алюминий. Возникновение электрического напряжения  $V_{ph}$  было обнаружено экспериментально у олова [1], хотя наблюденные в опыте значения  $v_{ph}$  оказались много меньше, чем следовало из соотношения (1) и обладало значительной анизотропией. Очевидно, что  $v_{ph}$  есть акустоэлектрический эффект, обычно наблюдаемый в полупроводниках.

В случае неоднородного звукового поля в плоскости перпендикулярной распространению звука, в образце возникают циркулярные токи,

и как следствие, появляется намагничивание образца. У металлов с проводимостью  $\sigma \sim 10^{10} \text{ ом}^{-1} \text{ см}^{-1}$  можно ожидать, что за счет  $v_{ph}$  звуковой поток с плотностью  $W \sim 10^{-3} \text{ вт} \cdot \text{см}^{-2}$  вызовет появление акустомагнитного поля порядка  $10^{-3} \div 10^{-4} \text{ э}$ . Такие поля могут быть измерены современными методами.

Акустомагнитное поле  $H_{ph}$ , очевидно, будет неоднородно по сечению образца. Наибольшая величина  $H_{ph}$  должна наблюдаться на границе звукового потока, там где максимальна неоднородность  $W$ . Вдоль звукового потока следует ожидать уменьшения  $H_{ph}$  подобно уменьшению  $W$ . Все эти зависимости обнаруживаются и в прямых измерениях акустомагнитного поля.

Для измерения акустомагнитного эффекта были использованы монокристальные образцы олова и алюминия размером  $(8 \div 10) \times 20 \times (1 \div 2) \text{ мм}$ . Перпендикулярно грани  $(8 \times 10) \times 20$  была направлена ось высшей симметрии кристалла. Остаточное сопротивление образцов составляло  $\sim 10^{-10} \text{ ом} \cdot \text{см}$ . Узкой гранью образец прижимался к ультразвуковому преобразователю таким образом, что звуковое поле занимало лишь часть сечения образца (см. рис. 1). Магнитное поле в направлении, перпендикулярном плоскости  $(8 \times 10) \times 20$  измерялось при помощи приемной катушки установки СКИМП [2], расположенной на поверхности образца. В опыте определялся ток, возникший в катушке при включении ультразвука. Основные опыты проводились с перпендикулярной модой колебаний частоты 14,3 и 44 МГц.

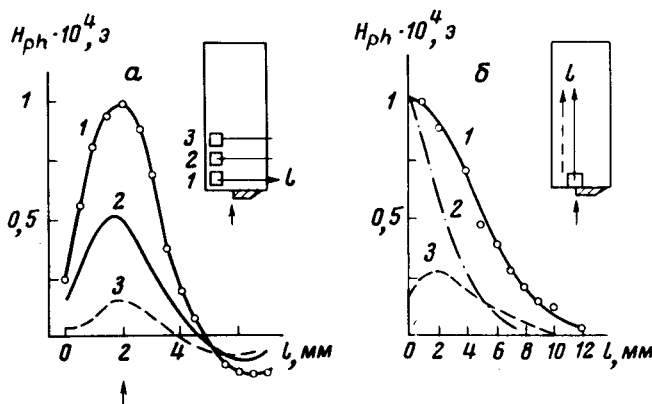


Рис. 1. Распределение акустомагнитного поля  $H_{ph}$  по сечению образца алюминия. Движение катушек показано на вставках к рисунку. *а* – распределение  $H_{ph}$  перпендикулярно распространению звука, на расстоянии 1 – 1,5 мм, 2 – 4,5 мм, 3 – 7,5 мм от излучателя, *б* – распространение  $H_{ph}$  вдоль звука, кривые, 1; 3 соответствуют  $\omega \sim 15 \text{ МГц}$  (3 – измерительная катушка двигается на расстоянии  $\sim 1,5 \text{ мм}$  от резкой границы звукового поля, которая отмечена на рисунке стрелкой); кривая 2 –  $\omega = 44 \text{ МГц}$  (масштаб относительный).

На рис. 1 представлены разрезы акустомагнитного поля, определенные уже при помощи подвижных катушек. Отчетливо видно (рис. 1, *a*), что максимум  $H_{ph}$  действительно совпадает с резкой границей звукового поля. Существенного размытия акустомагнитного поля в глубине образца не заметно. Вдоль направления распространения ультра-

звука акустомагнитное поле затухает тем более быстро, чем сильнее затухает ультразвук (рис. 1, б).

Детальное распределение намагниченности образца определяется тем, как распределены токи по образцу. В частности, в характере изменения  $H_{ph}$  вблизи излучателя существенна роль границы образца.

Распределение токов по образцу, а тем самым и намагниченность могут быть изменены внешним магнитным полем (рис. 2).

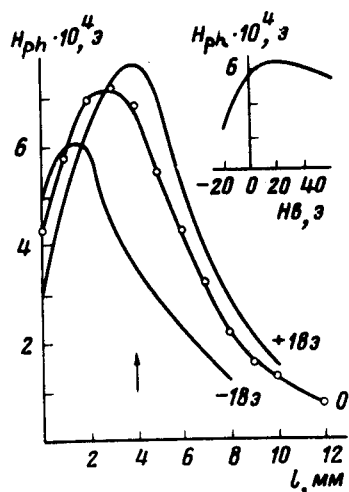


Рис. 2. Изменение распределения  $H_{ph}$  вдоль распространения звука во внешнем поле (олово). На вставке показана зависимость  $H_{ph}$  на расстоянии 4 мм от излучателя.

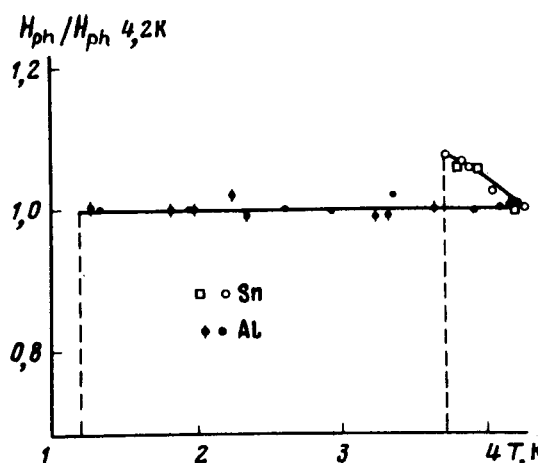


Рис. 3. Относительное изменение  $H_{ph}$  с температурой для нескольких образцов олова и алюминия. Пунктиром показано исчезновение  $H_{ph}$  при  $T_c$ . Для олова и алюминия направление  $H_{ph}$  различно.

Акустомагнитный эффект, так же как и акустоэлектрический является отражением фактически одного физического явления, заключающегося в увлечении звуком электронов проводимости. При этом в случае акустомагнитного эффекта роль сопутствующих явлений, связанных с тепловым нагревом образца, не столь велика, так как за счет нагрева образца циркулярные токи могут возникнуть только в специфических условиях [3]. В наших опытах циркулярные токи теплового происхождения наблюдались лишь в случае висмута.

На рис. 3 представлена зависимость от температуры акустомагнитного эффекта у алюминия и олова. Эти результаты свидетельствуют, что увлечение звуком электронов проводимости не зависит от темпера-

туры. Некоторые ( $5 \div 10\%$ ) возрастание акустомагнитного эффекта у олова, очевидно, связано с температурной зависимостью проводимости. В некоторых из этих опытов использовался монокристалл с отверстием ( $2 \times 4$ ) мм, внутри которого и измерялось акустомагнитное поле.

Опыты с такими образцами позволили установить, что в сверхпроводящем состоянии при  $W \sim 10^{-2}$  вт·см $^{-2}$  акустомагнитное поле меньше  $10^{-7}$  э. В нормальном состоянии соответственно для Al и Sn поле составляло  $-4 \cdot 10^{-4}$  и  $10^{-4}$  э. Дополнительные опыты показали, что у алюминия  $v_{ph} \sim 2 \cdot 10^{-10}$  в·вт $^{-1}$ ·см $^2$ , что близко к расчетному значению.

Автор признателен Н.А.Никитину за техническое содействие.

Институт физических проблем  
Академии наук СССР

Поступила в редакцию  
2 июня 1977 г.

### Литература

- [1] Н.В.Заварицкий. Письма в ЖЭТФ, 25, 61, 1977.
- [2] Н.В.Заварицкий. А.Н.Ветчинин. ПТЭ, 1, 247, 1974.
- [3] А.Г.Самойлович, А.А.Коренблит. ФТТ, 3, 2054, 1961.